

### Федеральное государственное бюджетное образовательное учреждение высшего образования



«Московский государственный технический университет имени Н.Э. Баумана (национальный исследовательский университет)»

## ПРИМЕНЕНИЕ ФАЗОХРОНОМЕТРИИ В ОБЛАСТИ МЕТАЛЛООБРАБОТКИ

к.т.н., руководитель лаборатории Сырицкий Антони Борисович

# Актуальность работы Методы диагностики состояния режущего инструмента

#### Вибродиагностика и виброакустическая диагностика

**Сложности и ограничения:** потери информации в многочисленных стыках

Относительная погрешность измерения: 0.01-5%

#### Диагностика на основе измерения силы резания

Сложности и ограничения: усложнение конструкции резца/резцедержателя, снижение жесткости технологической системы

Относительная погрешность измерения: 1-10%

#### Диагностика на основе измерения температуры либо термоЭДС

Сложности и ограничения: высокая стоимость, низкое быстродействие

Относительная погрешность измерения: 0.1-1%

#### Диагностика на основе измерения потребляемой мощности, крутящего момента

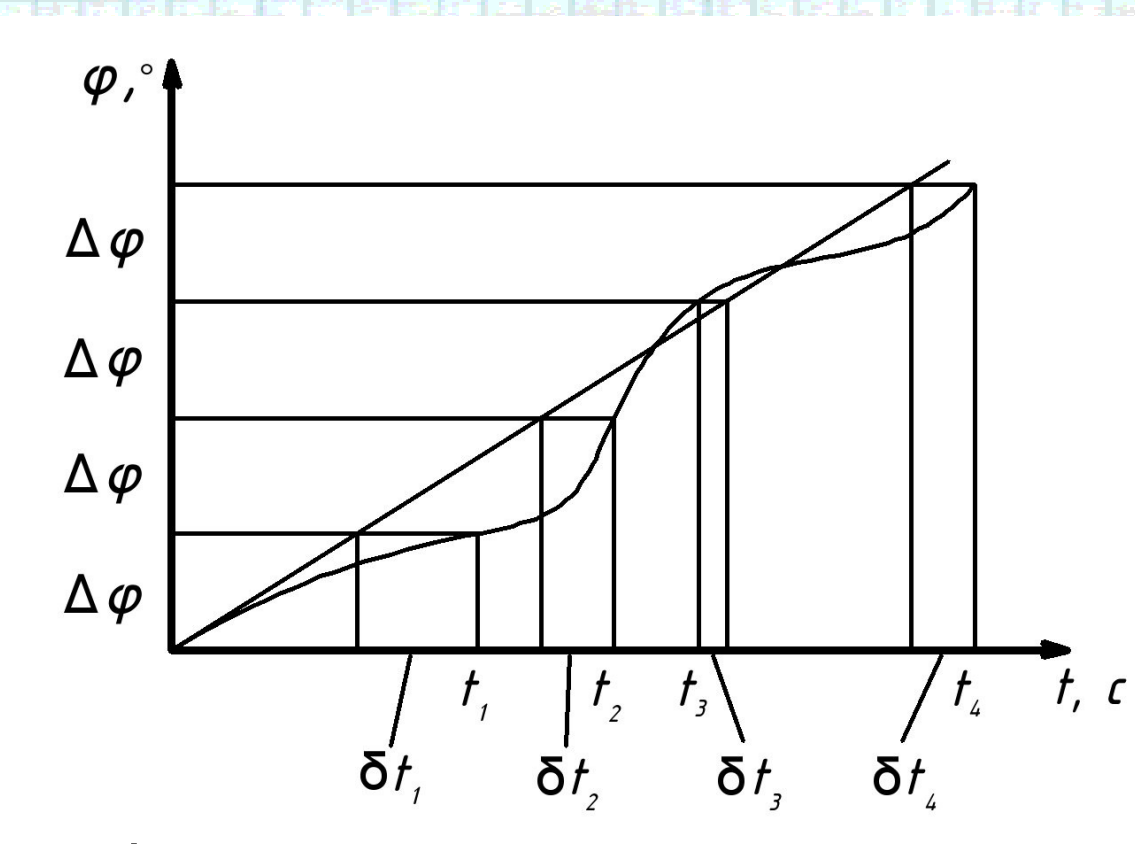
Сложности и ограничения: низкая чувствительность диагностики при чистовой обработке, низкое быстродействие

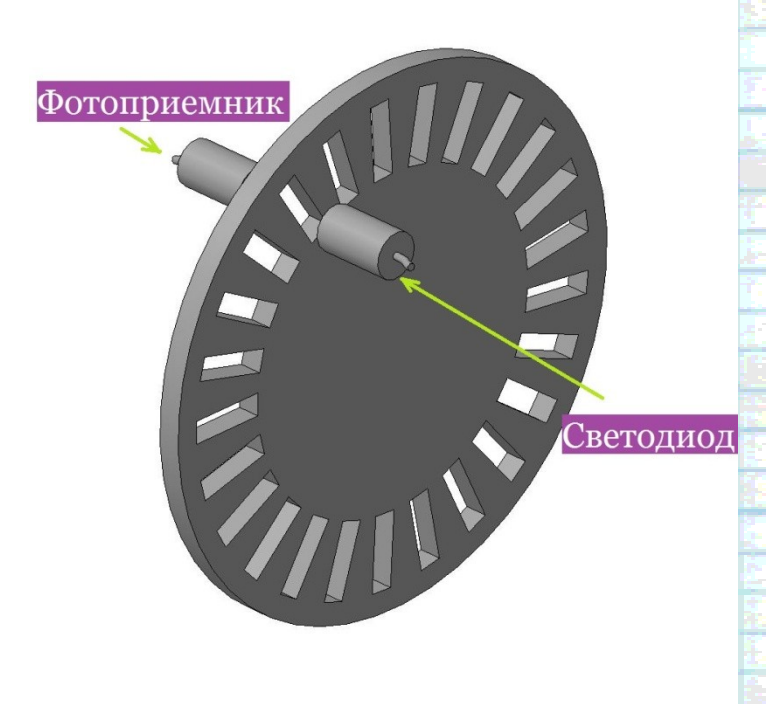
Относительная погрешность измерения: 0.1-1%

Задача создания эффективной прецизионной системы мониторинга износа токарного инструмента остается актуальной

### Фазохронометрический метод анализа рабочего цикла машин и механизмов

Государственный первичный эталон единиц времени и частоты □ H.C.П. 5·10-16 с





Измерения при фазохронометрическом подходе реализуются по двум вариантам:

- □ квантование фазы цикла по уровню с дискретизацией по времени, включая
  - а) равномерное квантование фазы
  - б) регистрацию моментов достижения характерных заданных значений фазы или границ характерных этапов цикла;
- □равномерное квантование времени с дискретизацией по уровню.

#### Реализация измерительной технологии

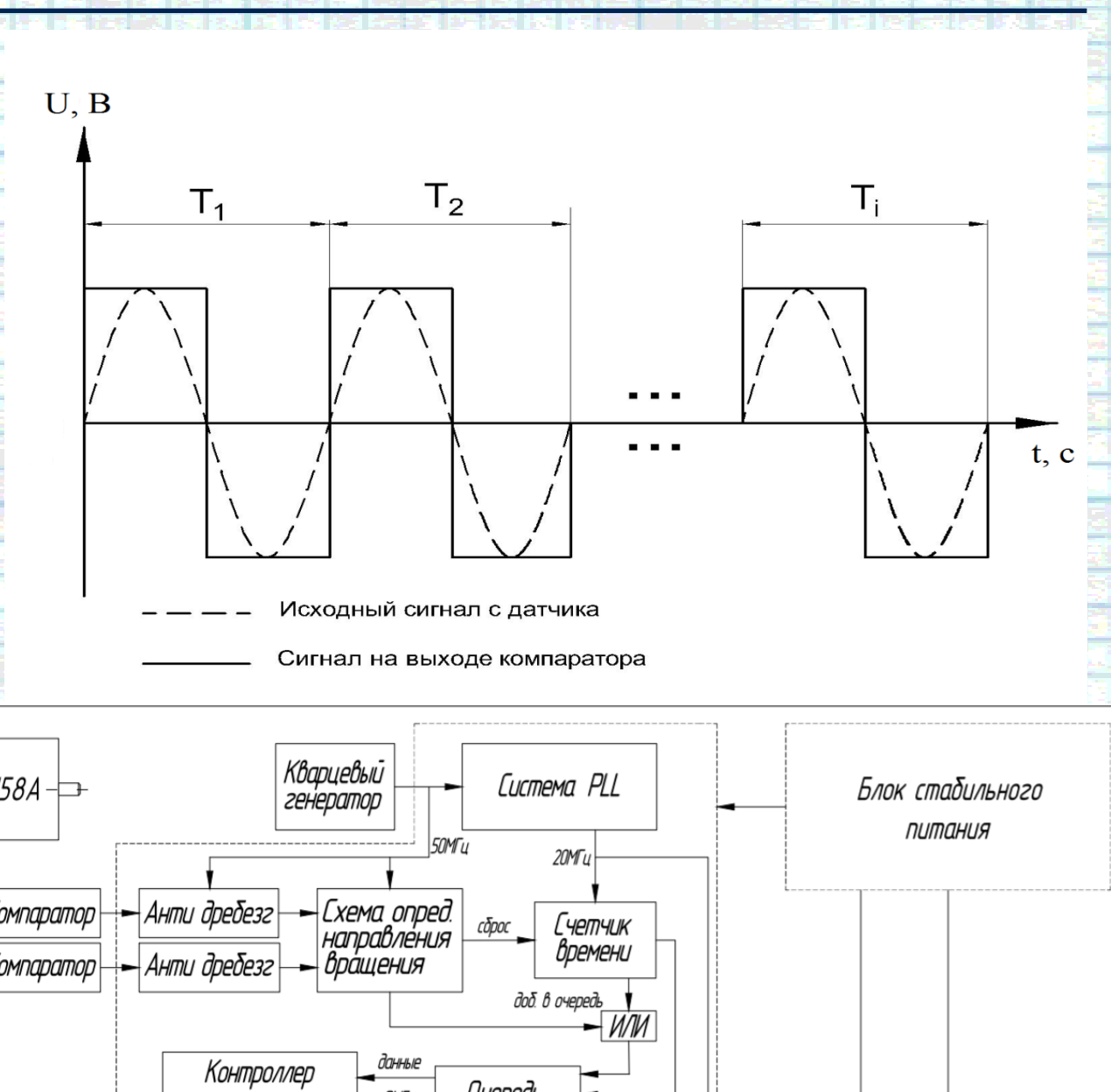
Расположение датчиков в машине обусловлено конструкцией частей циклически работающей машины, а места установки датчиков определяют с точки зрения получения наиболее полной информации о работе частей машины



#### Реализация системы

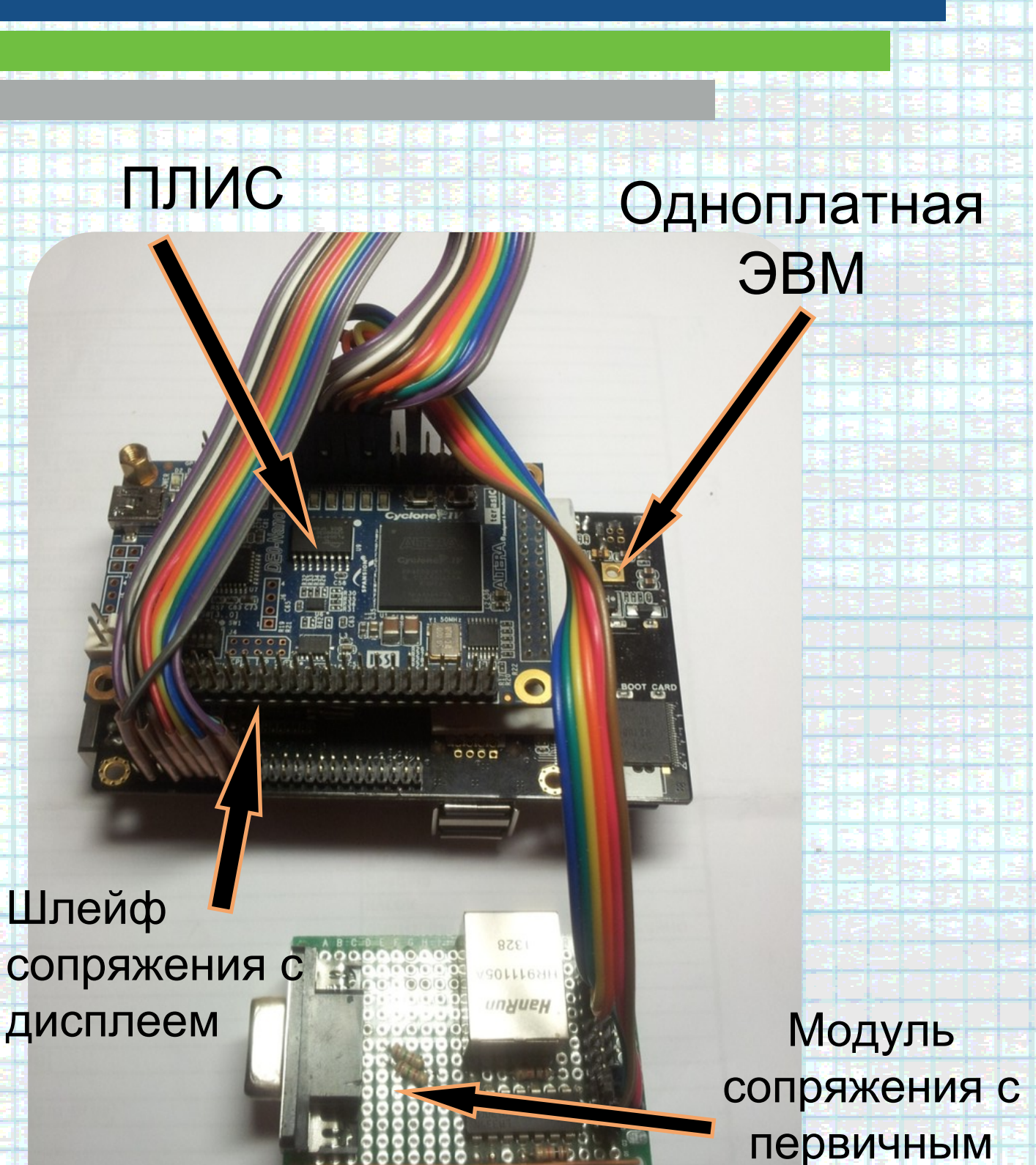






#### Блок обработки измерительной информации

преобразователем



$$\alpha = \frac{2\pi}{N_M} = \frac{2\pi}{5000} = 0,00125 \text{ pag} = 260$$
"

где  $N_{\rm M}$  - количество штрихов на измерительном лимбе.

Относительная погрешность изготовления диска:

$$\Delta = \frac{30"}{260"} = 0,115 = 11,5\%$$

Погрешность измерения интервала времени для n=1000 об/мин:

$$\Delta t = \frac{\phi}{\omega} = \frac{\phi}{2\pi n} = \frac{0,00015}{2\pi \cdot 1000} = 2,38 \cdot 10^{-8} \ c$$

ω - угловая частота вращения шпинделя станка, рад/с. Относительная погрешность:

$$\delta t = \frac{\Delta t}{t_{\text{HOM}}} \cdot 100\% = \frac{2,38 \cdot 10^{-8}}{1,2 \cdot 10^{-5}} = 1,98 \cdot 10^{-3} \%$$

где  $t_{\text{HOM}}$  - номинальная длительность интервала времени, с

Погрешность, вносимая муфтой датчика

$$\Delta t_{\rm M} = \frac{\theta}{\omega} = \frac{\theta}{2\pi n} = \frac{0,000097}{2\pi \cdot 1000} = 1,54 \cdot 10^{-8} \text{ c}$$

Где  $\theta$  - погрешность передачи вращения муфтой, рад

Относительная погрешность:

$$\delta t_{\rm M} = \frac{\Delta t_{\rm M}}{t_{\rm HOM}} \cdot 100\% = \frac{1,54 \cdot 10^{-8}}{1,2 \cdot 10^{-5}} = 1,28 \cdot 10^{-3} \%$$

$$\delta t_{K} = \frac{\Delta t_{K}}{t_{HOM}} \cdot 100\% = \frac{3 \cdot 10^{-8}}{1, 2 \cdot 10^{-5}} = 2, 5 \cdot 10^{-3} \%$$

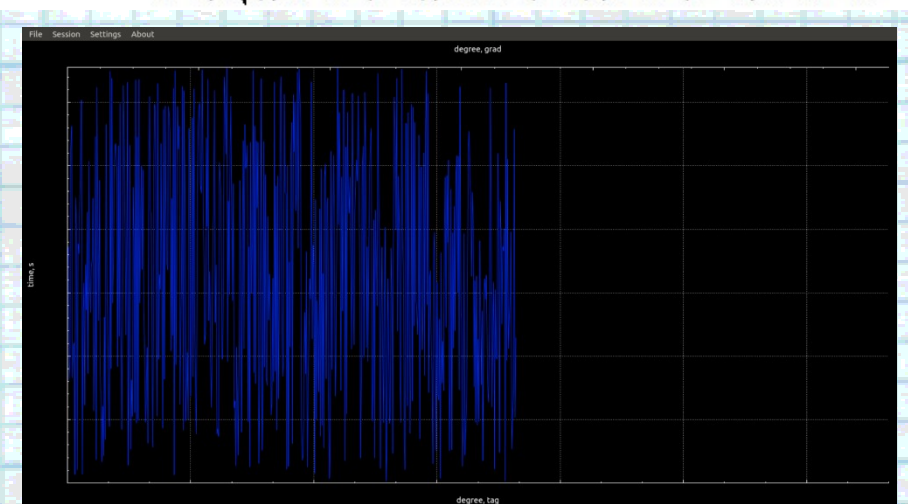
где  $\Delta t_{\kappa}$  – крутизна фронта сигнала на выходе компаратора, с.

Оценка границы относительной погрешности измерений  $\delta$ :

$$\delta = K \sqrt{\sum_{1}^{i} \delta_{i}^{2}}$$

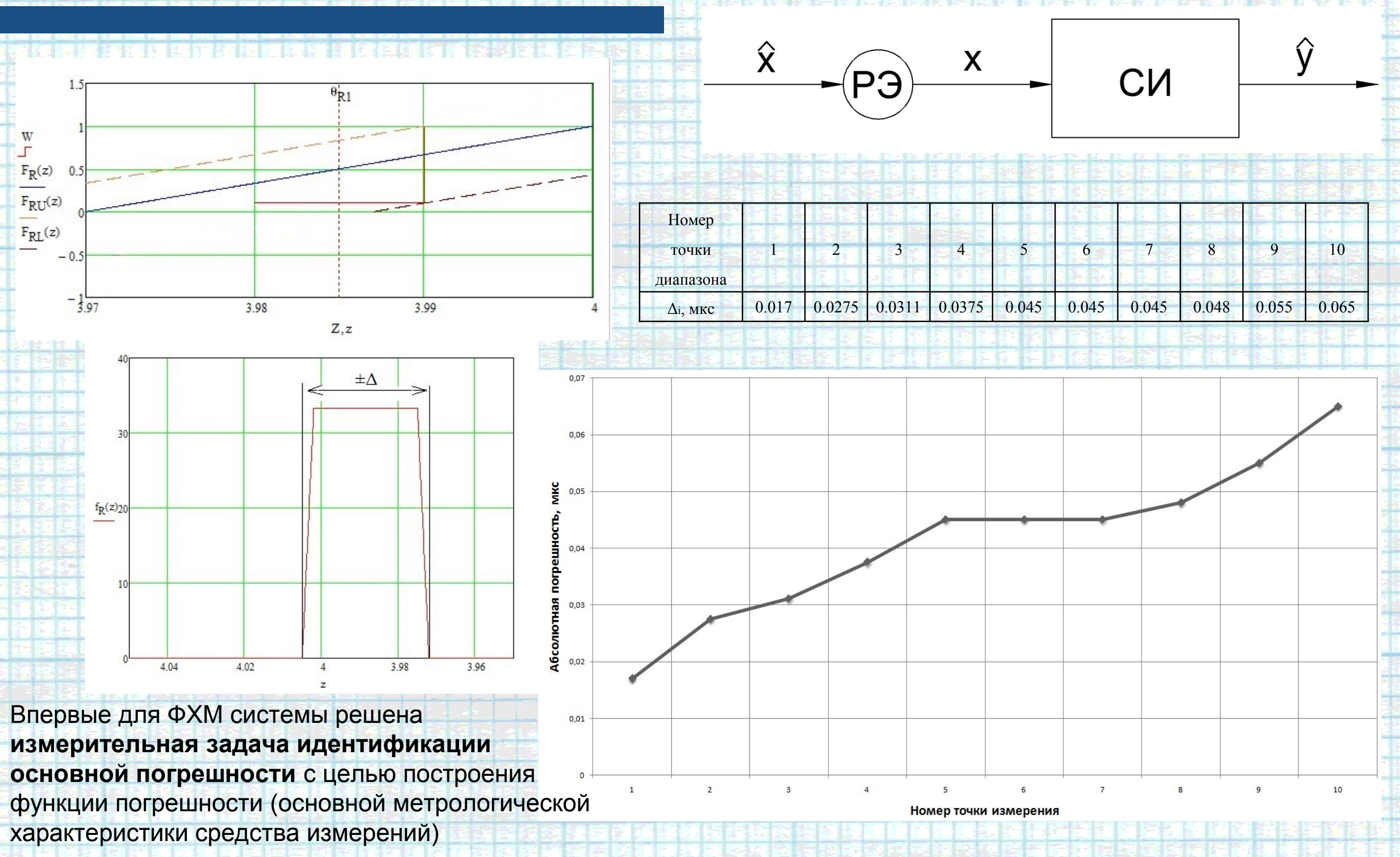
где К=1,2 для оценок границ погрешности измерений наиболее важных параметров; δ, - оценка границы і-й составляющей относительной погрешности измерений.

$$\delta = 1, 2\sqrt{(1,98\cdot 10^{-3})^2 + (1,28\cdot 10^{-3})^2 + (2,5\cdot 10^{-3})^2} = 3,43\cdot 10^{-3}~\%$$



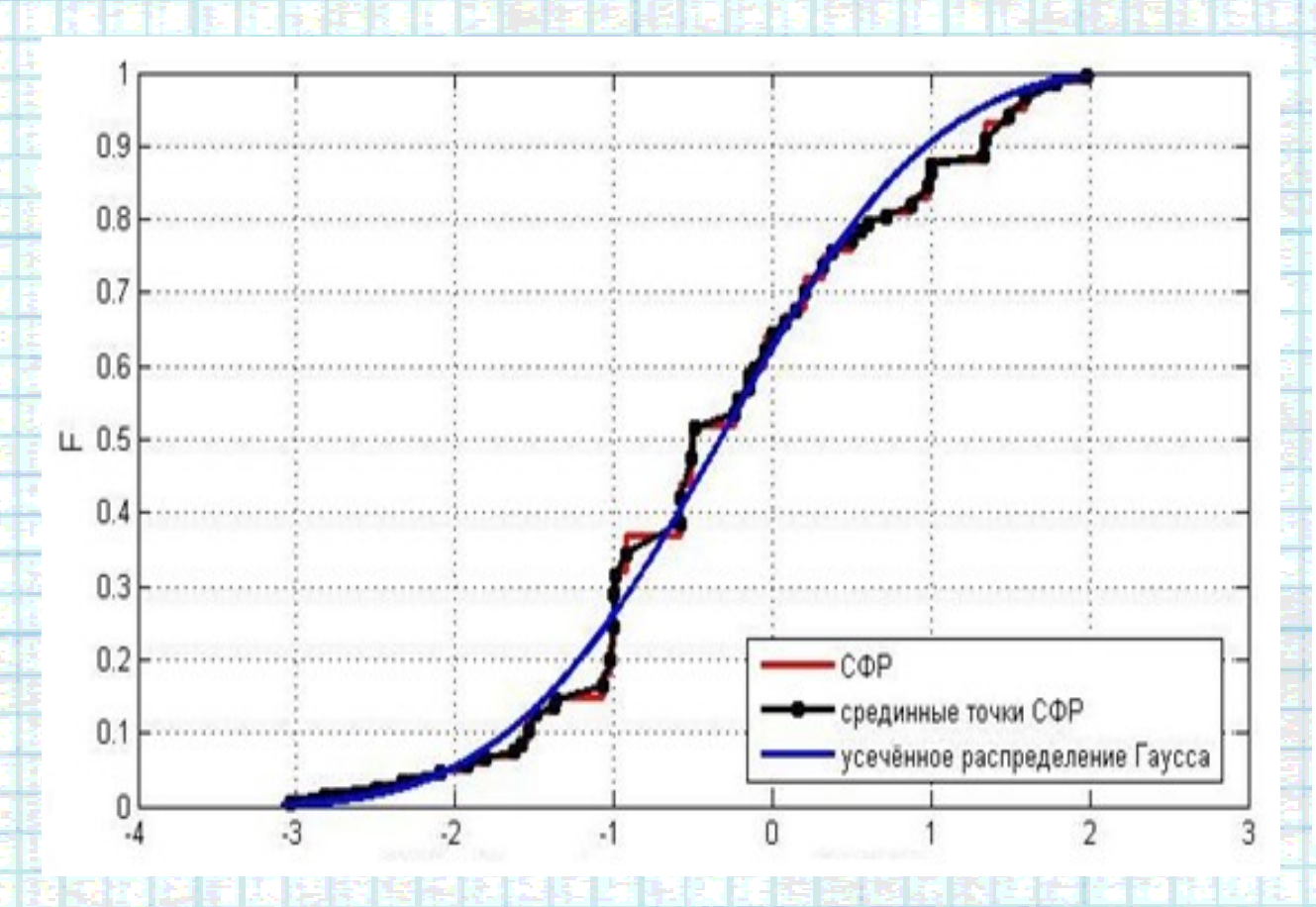
Принтскрин бета-версии прикладного ПО

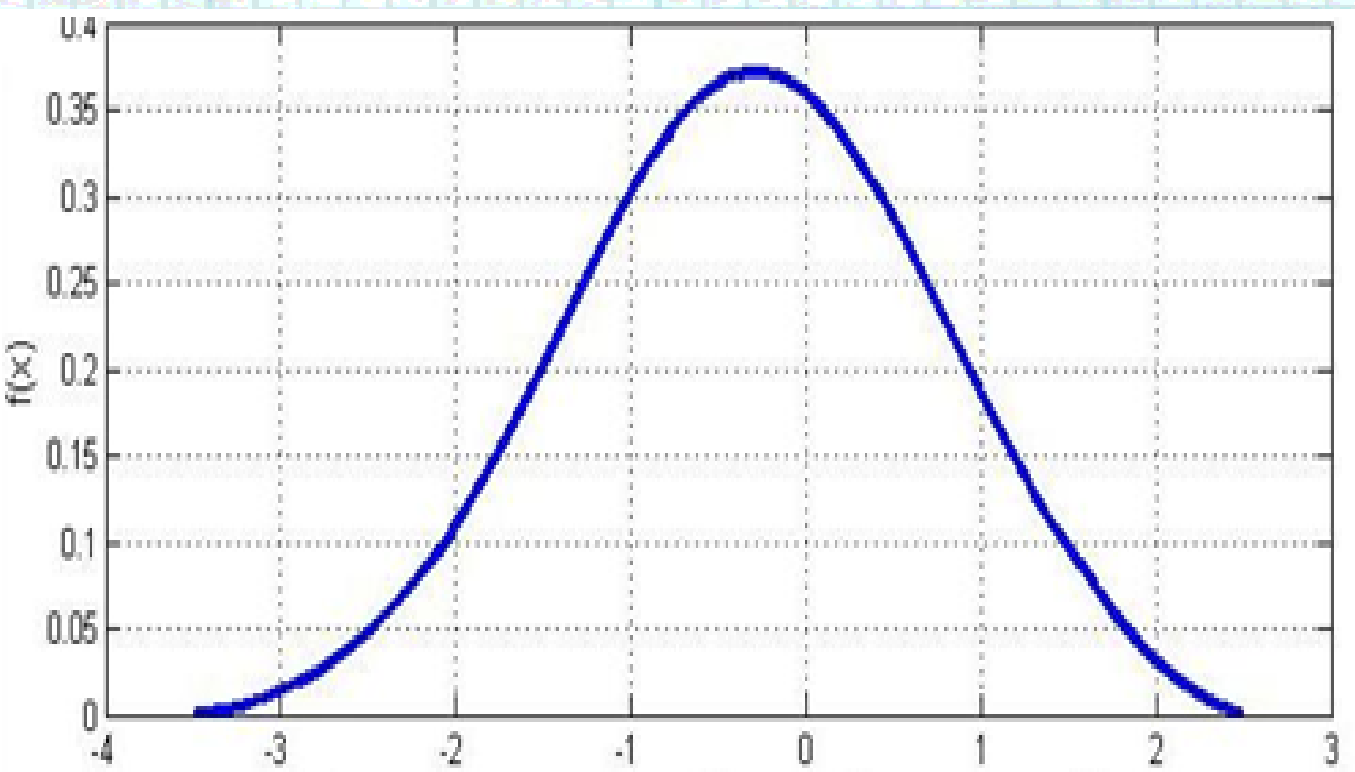
### Оценка метрологических характеристик блока обработки измерительной информации



Погрешность лежит в пределах от 0,017 до 0,065 мкс (СКО 0,01388 мкс). Линейность полученной характеристики говорит о стабильности метрологических характеристик во всем диапазоне измерения.

### Оценка метрологических характеристик блока обработки измерительной информации





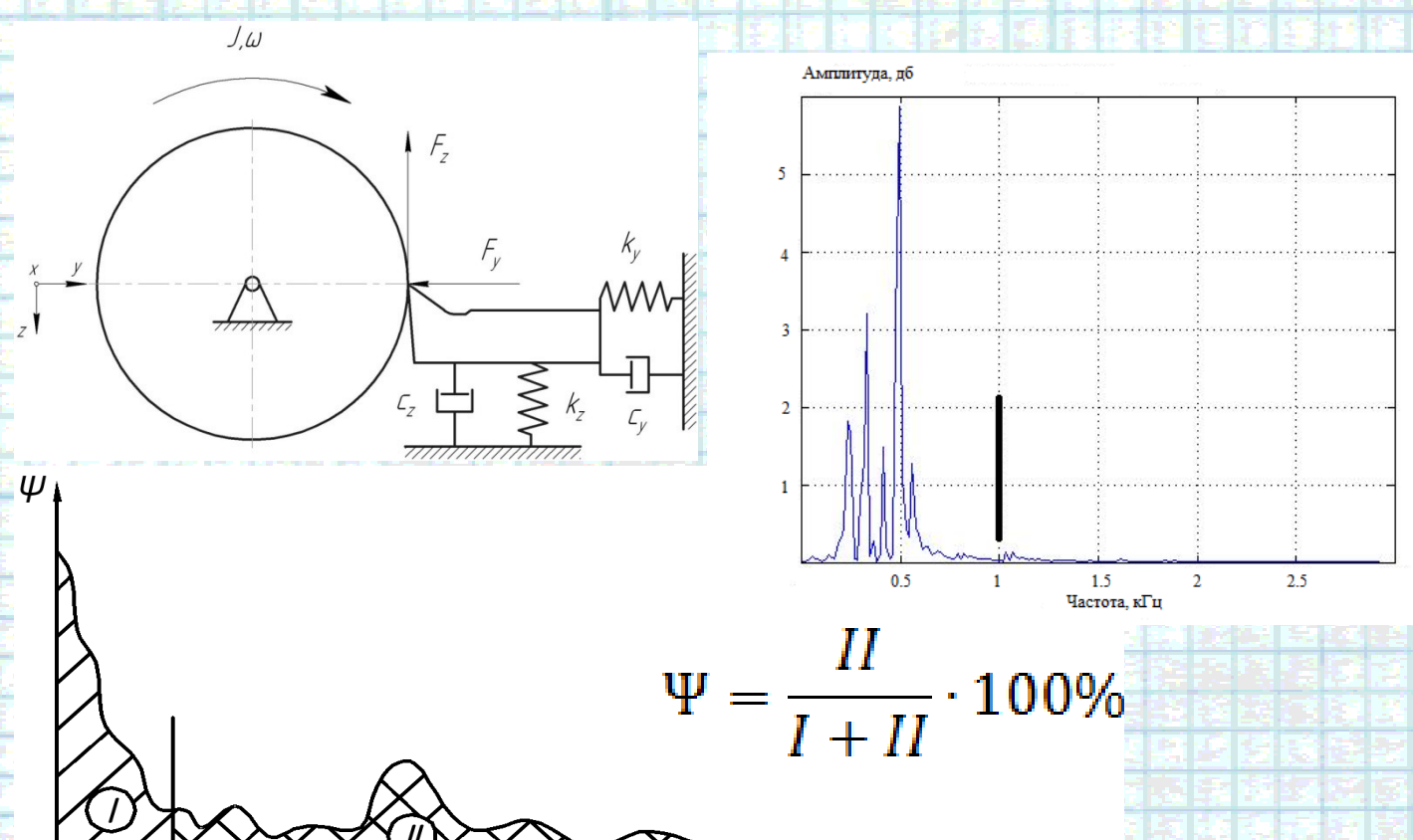
Идентификация функции распределения

Свертка возможных значений основной погрешности СИ

По статистическому нормализованных значений погрешности и характеристикам погрешности рабочего эталона была построена вероятностная оценка количественного результата идентификации основной погрешности блока обработки измерительной информации.

Верхняя граница свертки возможных значений основной погрешности: 0,049 мкс Нижняя граница свертки возможных значений основной погрешности: - 0,032 мкс

#### Математическое моделирование



41000 Частота, Гц 1000

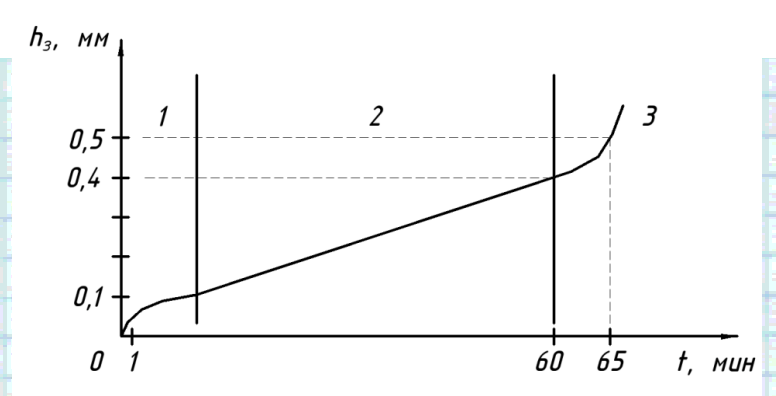
Зависимость угла поворота шпинделя от времени в модели взаимодействия заготовки и режущего инструмента с учетом нелинейной силы сопротивления движению резца и его вынужденных колебаний вдоль линии резания имеет вид:

$$\begin{split} &\theta(t) = \Omega_{\mathrm{H}} t + \frac{AR_{\mathrm{A}}}{J\omega_{0}^{2}} \left(k_{z} - m_{z}\omega_{0}^{2}\right) \cdot \sin\left(\omega_{0}t + \phi_{0}\right) + \frac{AR_{\mathrm{A}}c_{z}}{J\omega_{0}} \times \\ &\times \left(\frac{3}{4}\gamma A^{2}\omega_{0}^{2} - 1\right) \cdot \cos\left(\omega_{0}t + \phi_{0}\right) + \frac{1}{36J}\gamma A^{3}R_{\mathrm{A}}c_{z}\omega_{0}\cos(3\omega_{0}t + 3\cdot\phi_{0}), \end{split}$$

 $rge \theta$  — угол поворота шпинделя;  $R_{II}$  — плечо силы в точке приложения; m — эффективная масса резца; у - коэффициент нелинейности, зависящий от скорости резания и определяемый по эмпирической зависимости; A – амплитуда колебаний резца;  $\omega_0$  – угловая частота колебаний резца;  $\varphi_0$  –  $\varphi$ аза;

где 
$$A = \beta \cdot \sqrt[\chi]{\frac{h_3}{B}}$$
,  $h_3$  - износ по задней поверхности

Достижению равномерно распределенных границ интервалов угла поворота («квантов фазы»)  $\Delta\theta_{\rm H} \left( \Delta\theta_{\rm H} = \frac{2\pi}{N} \right)$  соответствуют регистрируемые моменты времени  $\mathbf{t}_{\mathrm{i}}$  . При равномерном вращении детали повороту на угол  $\Delta \theta$  соответствует интервал времени  $\Delta t_{\rm H} \left( \Delta t_{\rm H} = \frac{2\pi}{\Omega \ {\rm N}} \right)$ . Возмущенному резанием неравномерному режиму соответствуют временные интервалы  $\Delta t_i (\Delta t_i = t_i - t_{i-1})$ . При этом в вариациях интервалов  $\delta \Delta t_i \left( \delta \Delta t_i = \Delta t_i - \Delta t_\mu \right)$  содержится информация о режиме резания



1 – зона приработки

2 - зона нормального износа

3 - зона катастрофического износа

Впервые введен критерий затупления режущего инструмента, заключающийся в росте доли высокочастотных составляющих

Износ, мкм

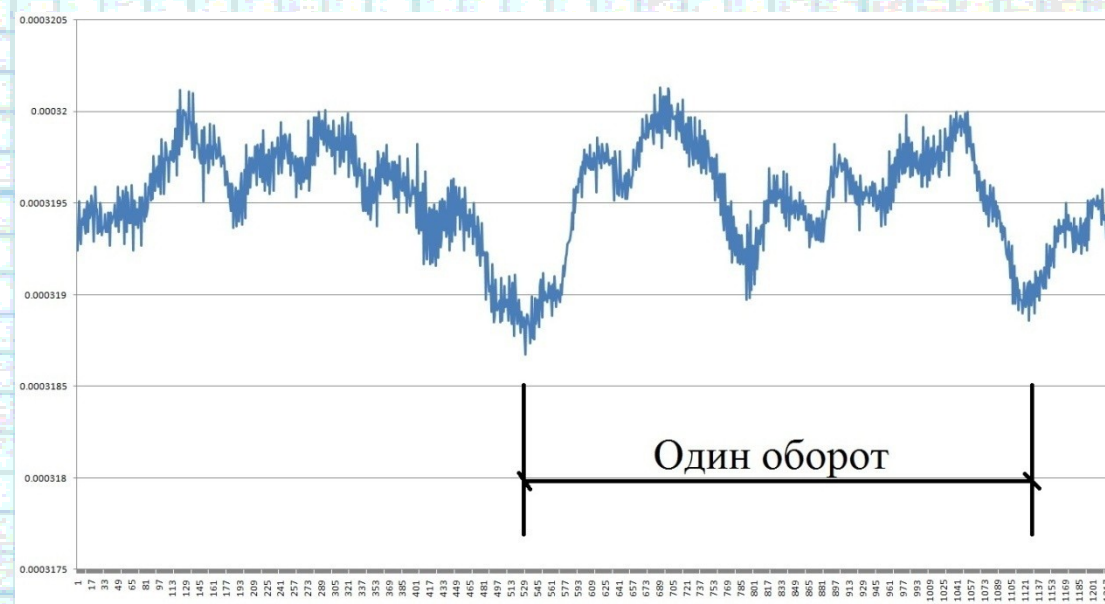
в спектре хронограммы вращения по мере износа режущего инструмента

#### Исследование процесса резания

Станок G.D.W. 240 CNC, Раменский ПЗ, n=300 об/мин, s=0.02 мм/об



□ Проведена оценка работоспособности системы в цеховых условиях. Доказана работоспособность.

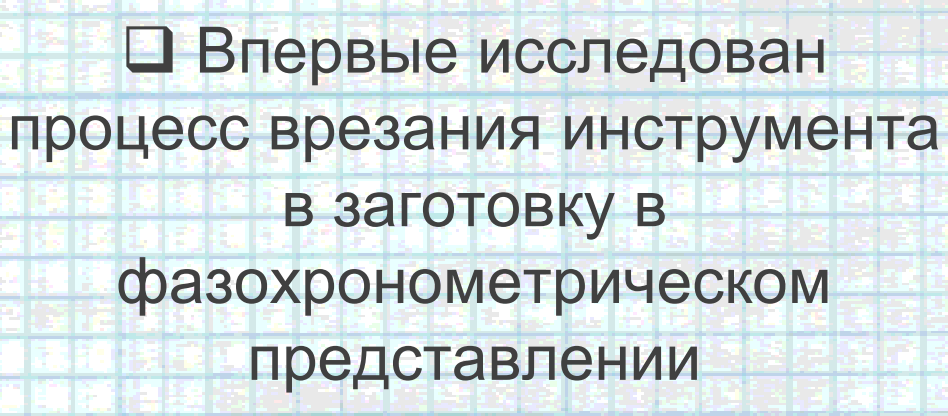


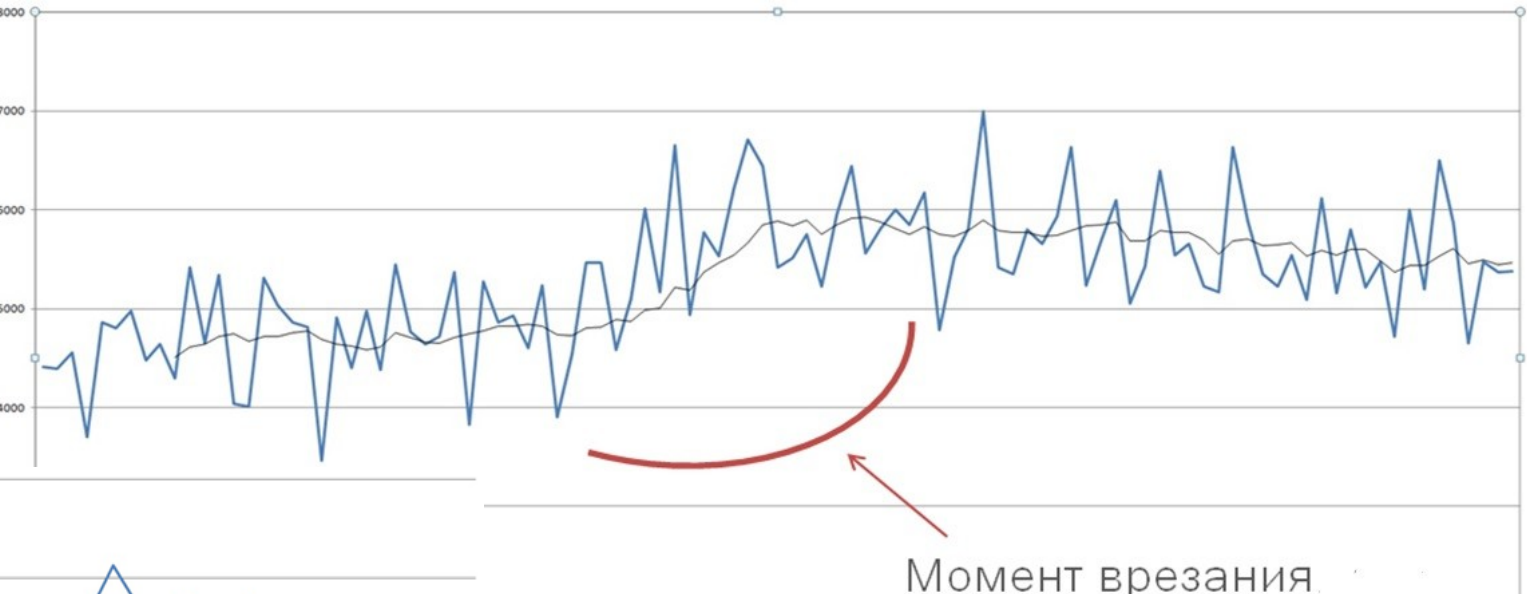


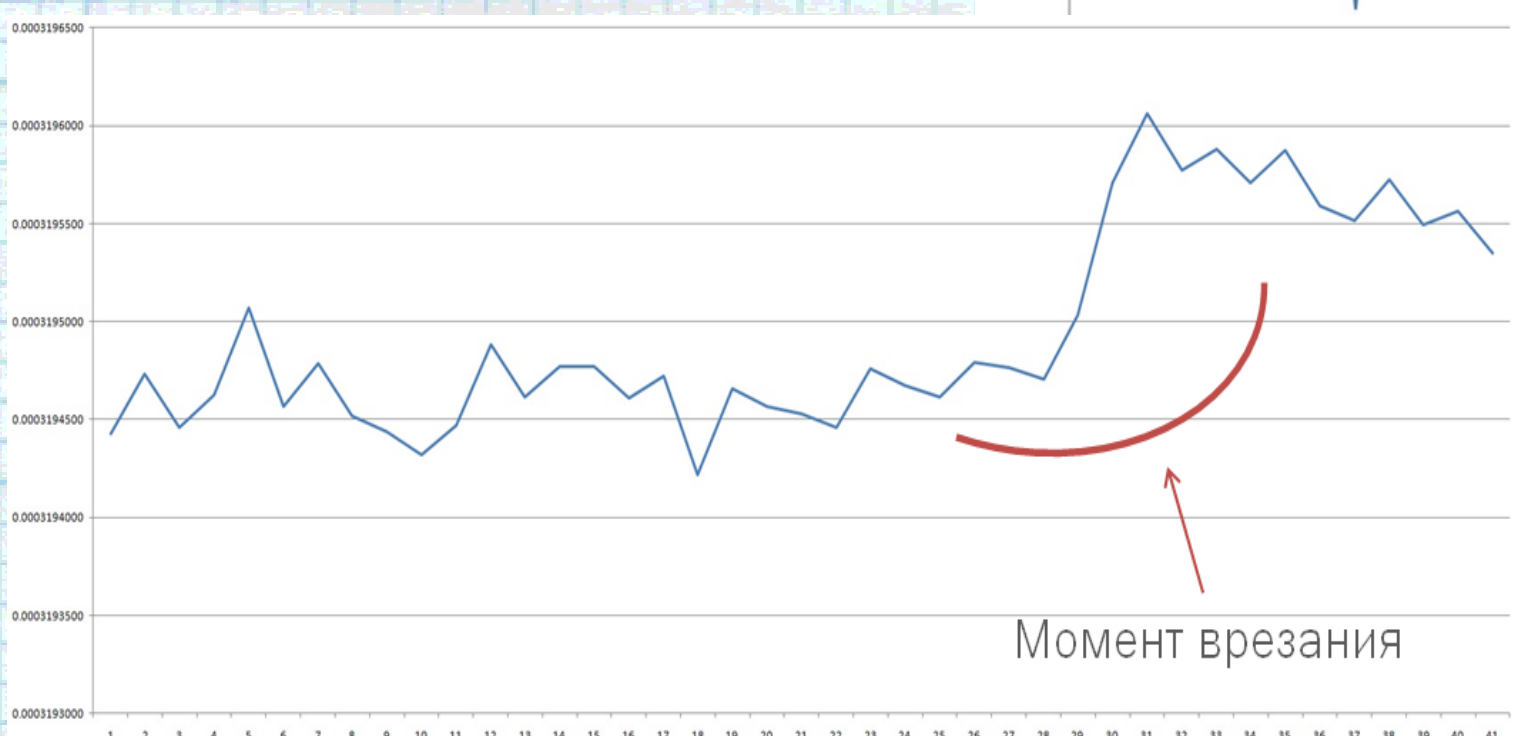


#### Исследование процесса резания





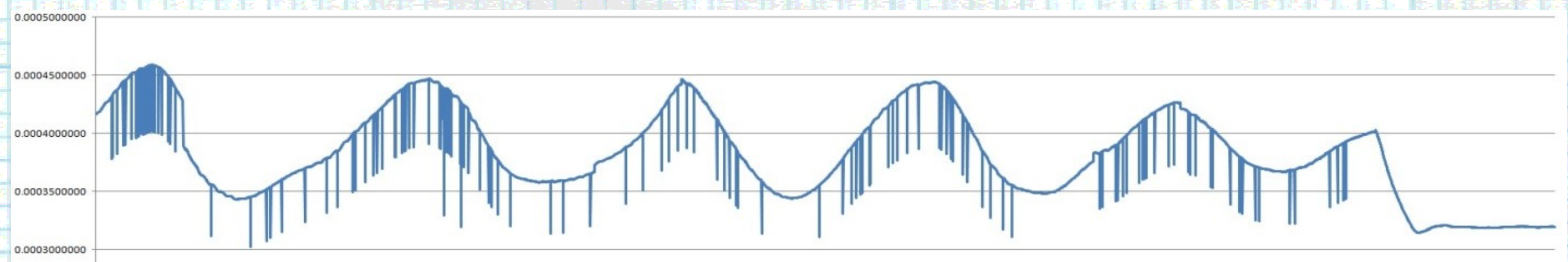




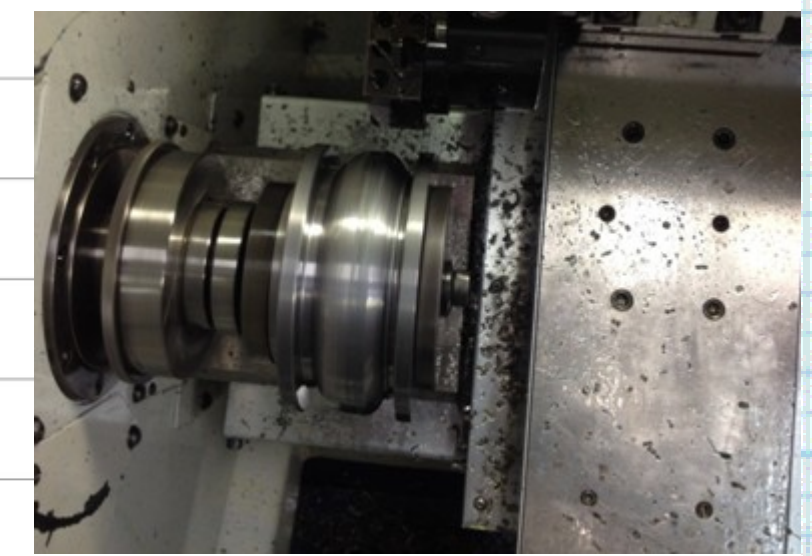
- □ Доказана чувствительность системы к изменениям, связанным с взаимодействием инструмент-деталь.
- □ Показана возможность детального изучения процесса врезания.

#### Исследование процесса резания

Станок G.D.W. 240 CNC, Раменский ПЗ, n=300 об/мин, s=0.02 мм/об



Превышение максимальной допустимой глубины резания



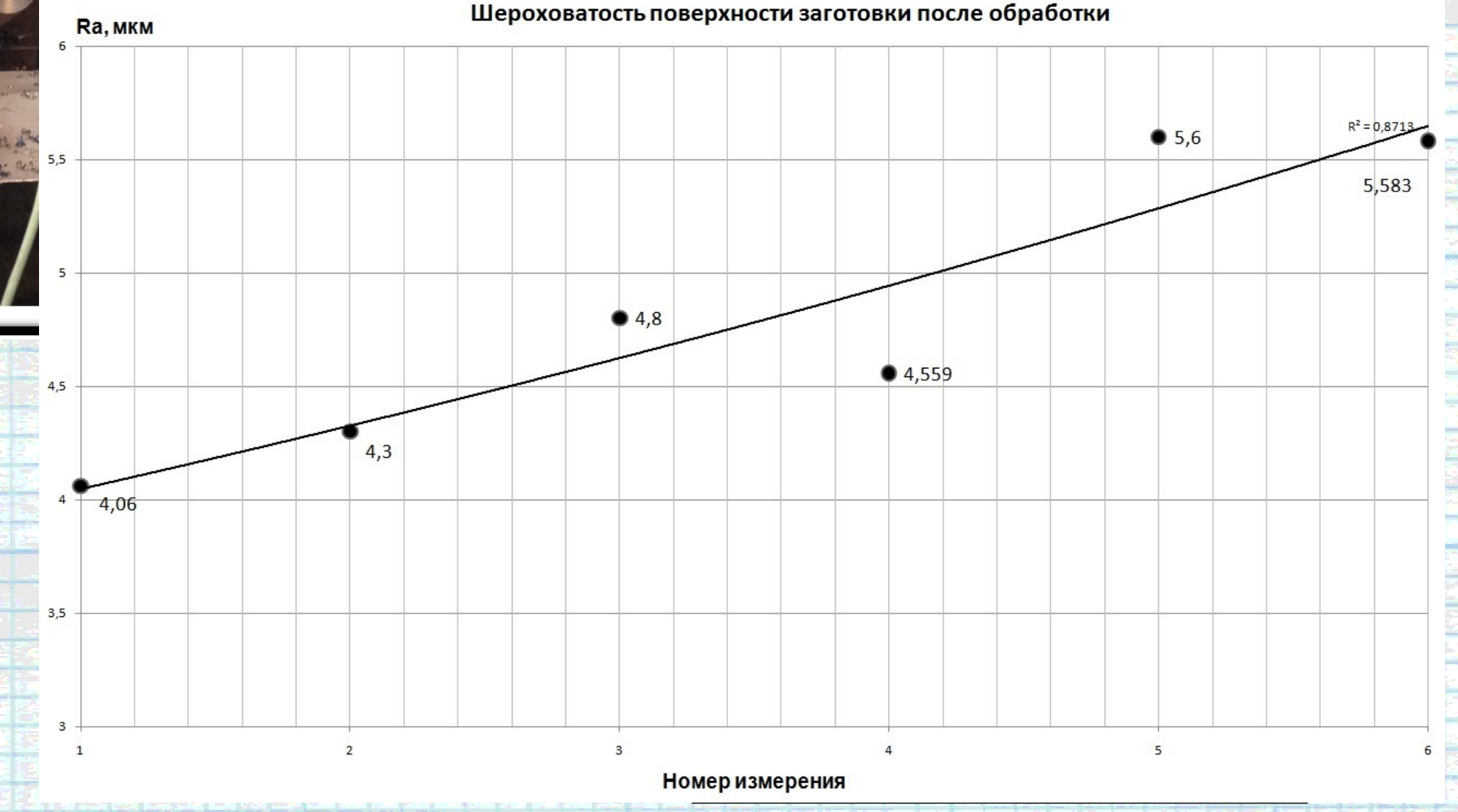
□ Впервые показана применимость фазохронометрической измерительной информации в вопросах управления процессом обработки

#### Исследование износа инструмента



Станок 16К20, НОЦ «Центр модернизации машиностроения»,

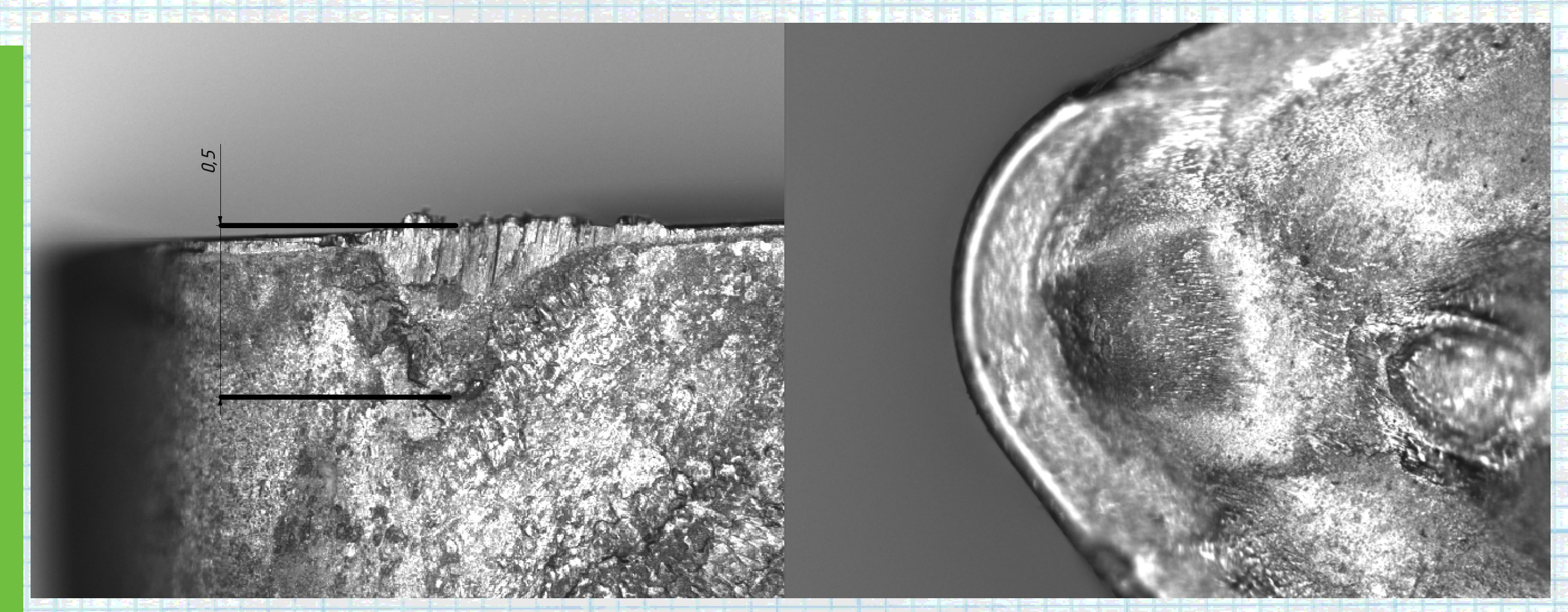
n=1000 об/мин, s=0.2 мм/об, t=1 мм, Сталь 45, CNMG 12 04 08-ММ



□ Шероховатость поверхности возрастает по мере изнашивания токарной пластины

#### Исследование износа инструмента

Станок 16К20, НОЦ «Центр модернизации машиностроения», n=1000 об/мин, s=0.2 мм/об, t=1 мм, Сталь 45, CNMG 12 04 08-ММ

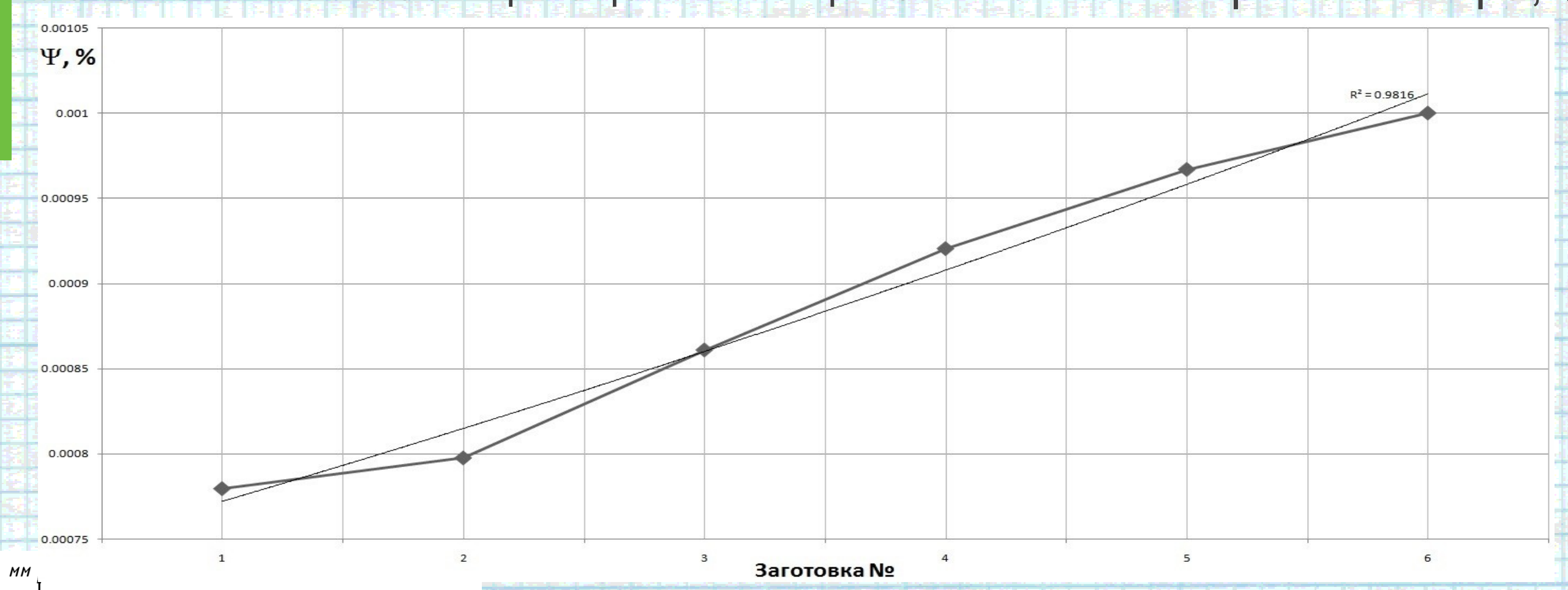


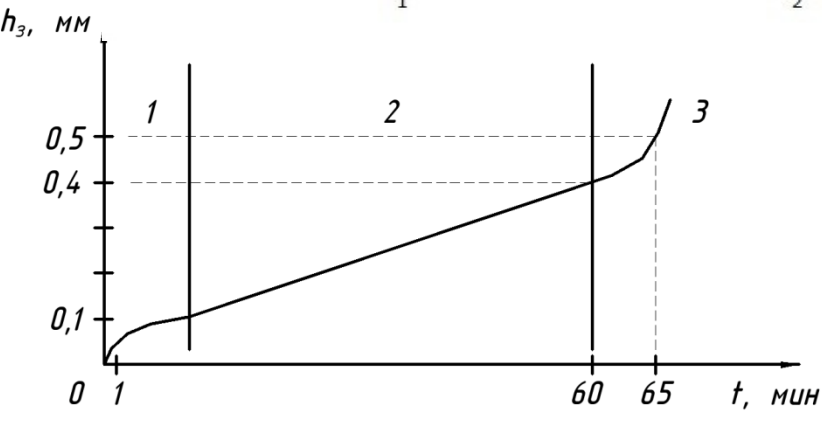
Износ по задней поверхности 500 мкм

□ Проведены измерения геометрических параметров износа на прецизионной видеоизмерительной машине Mitutoyo Quick Vision Apex Pro

### Результаты анализа фазохронометрической информации

Отношение оценки отношения мощности колебаний в полосе частот свыше 1000 Гц к оценке мощности по всей ширине спектра, %

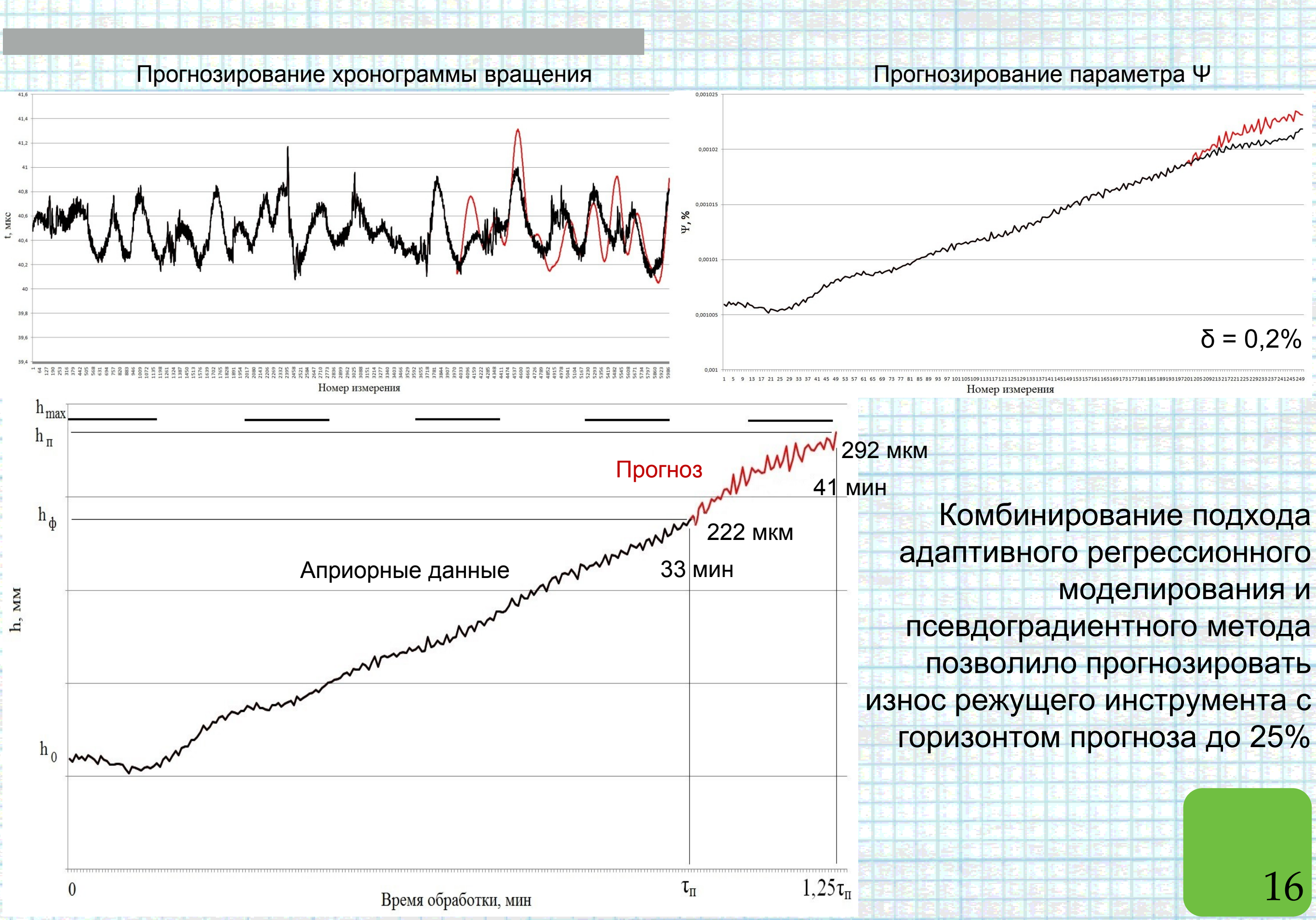


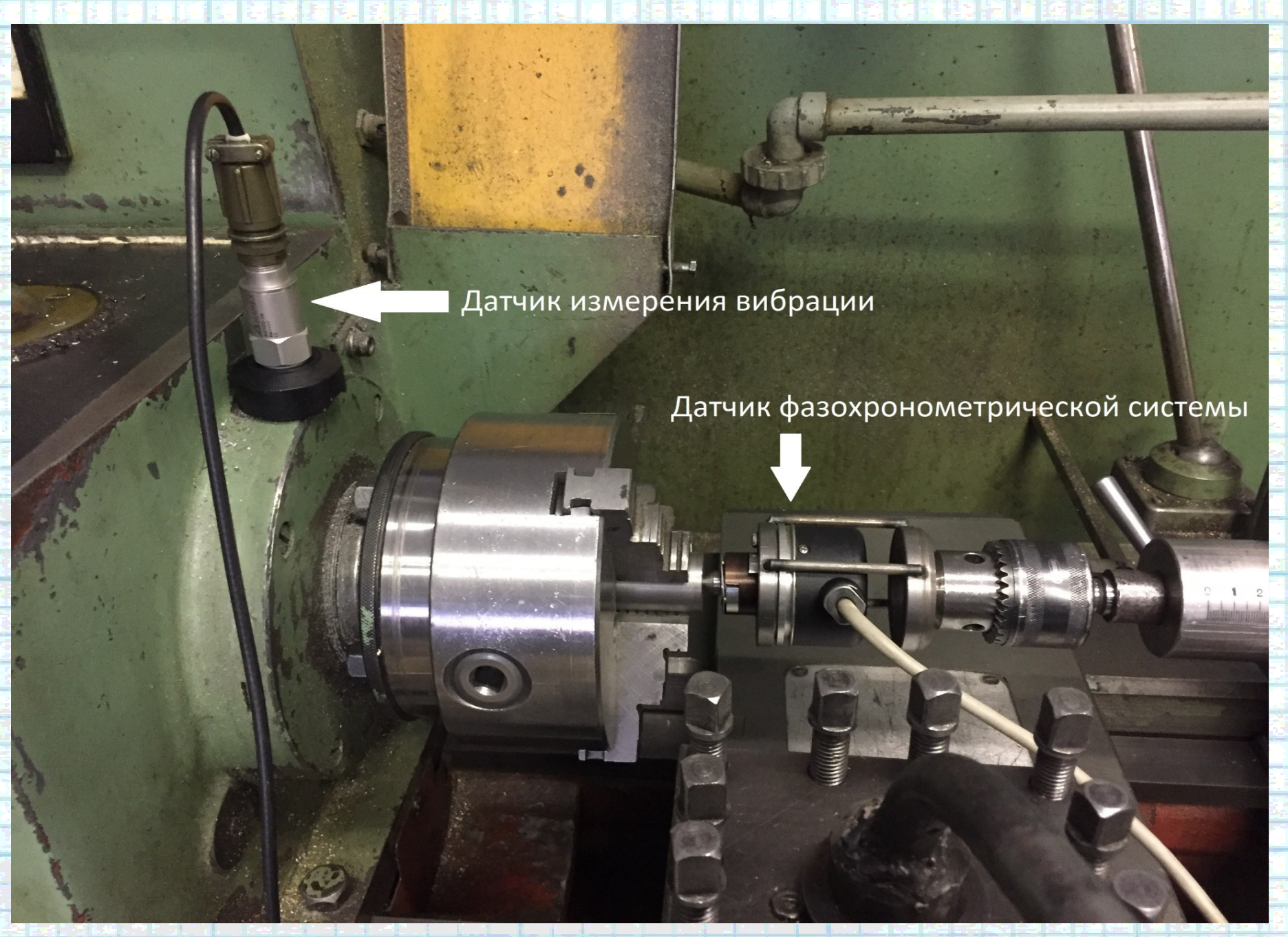


Выявлена корреляция между изменением оценки мощности колебаний на хронограмме и классическим представлением развития износа режущего инструмента

- 1 зона приработки
- 2 зона нормального износа
- 3 зона катастрофического износа

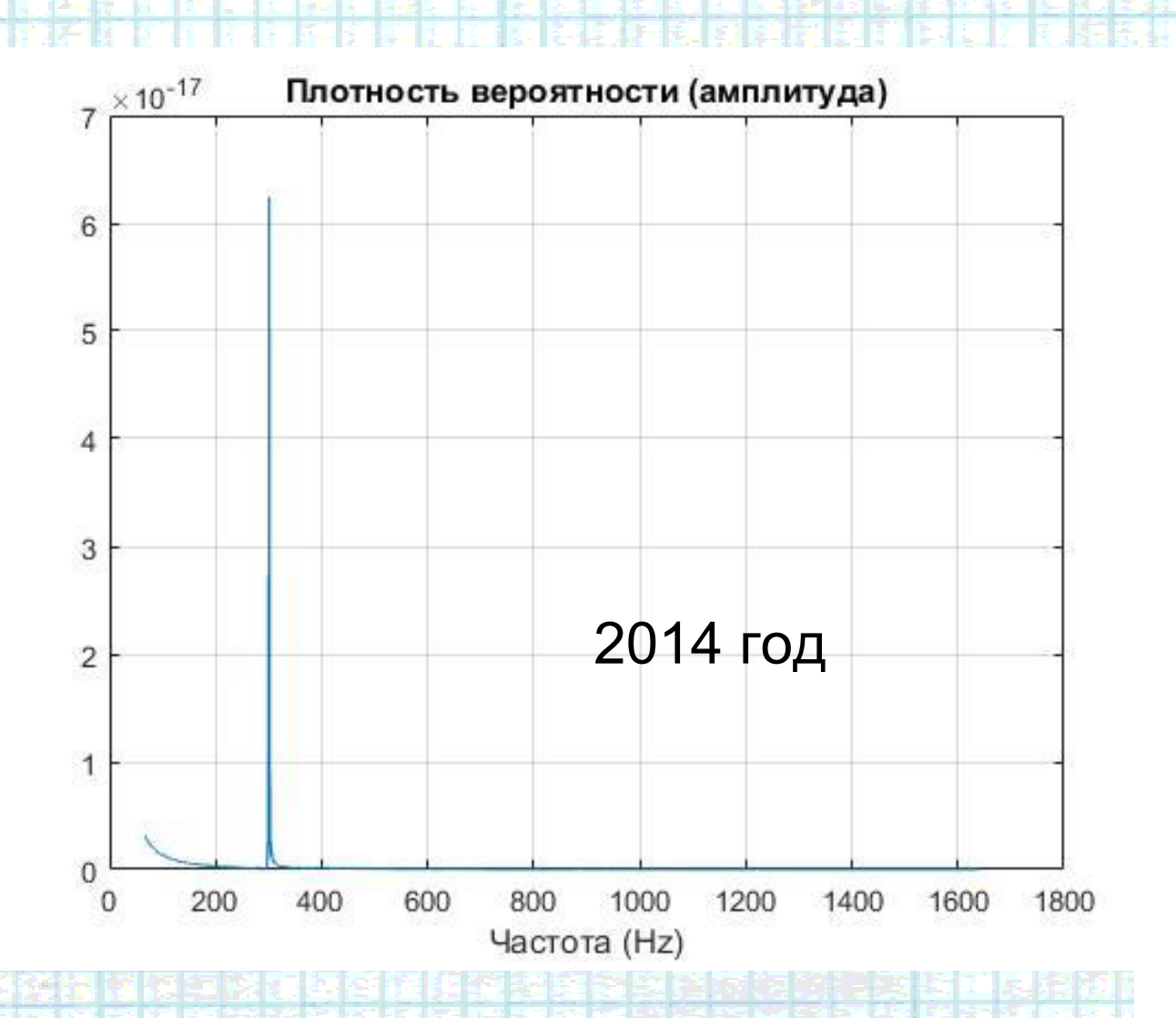
#### Прогнозирование износа режущего инструмента

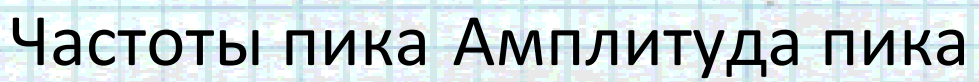




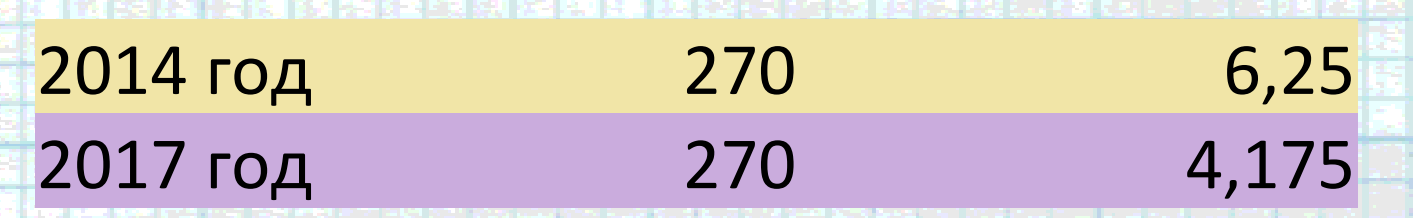
Параметры эксперимента:
Станок УТ16П
Холостой ход 315 об/мин
Комплекс измерения вибрации - Диамех Оникс
Фазохронометрический измерительный канал

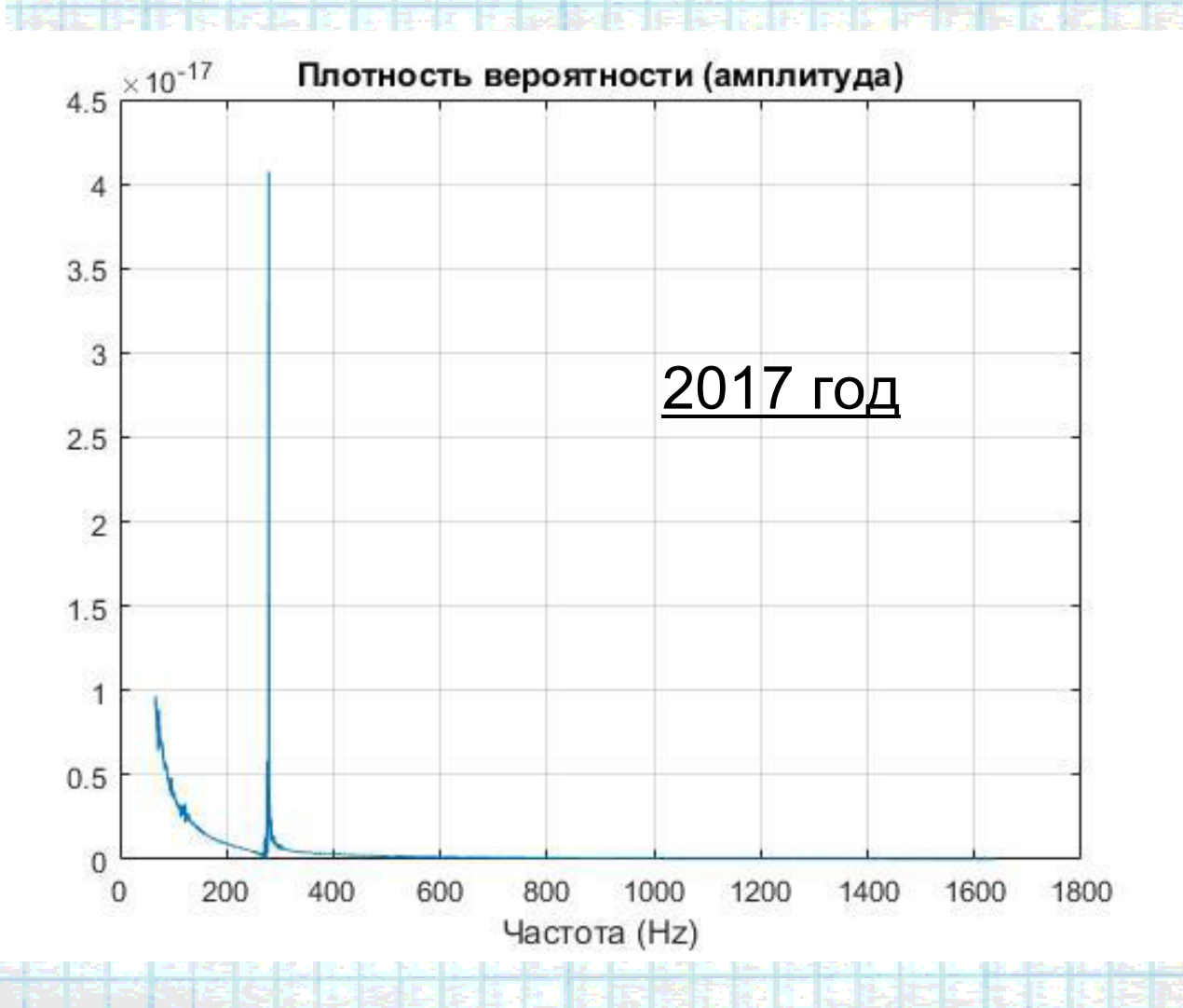
#### Сравнение ФХМ данных

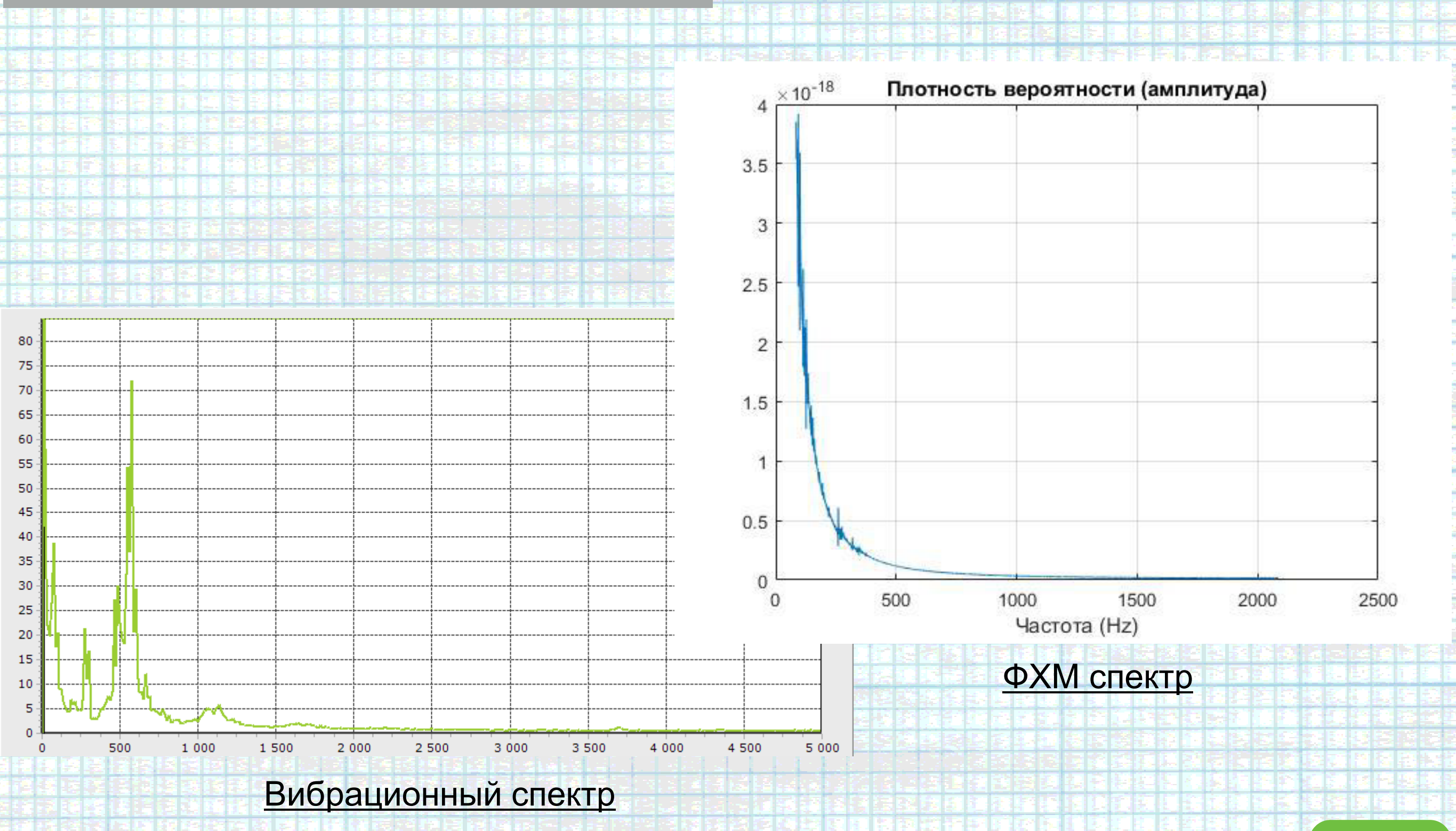




2014 год700,32017 год700,9







	Частота	Частота пика из	Данные калькулятора
	пика ФХМ	виброспектра	частот
	<u>70 Гц</u>	12,5 Гц	25 Гц
i E	270 Гц	<u>62,5 Гц</u>	<u>59 Гц</u>
		275 Гц	<u>72 Гц</u>
		462,5 Гц	
		575 Гц	

	B 국가 발매하게 되어 없고 보면 하면 중요 없습니다. ( ) . ( )	
	Перекатывание тел качения Fo = 59,062	Гц×÷
	Перекатывание тел качения Fi = 72,188	<sub>Гц</sub> ×÷
	Вращение тел качения	<sub>Гц</sub> ×÷
į	Вращение сепаратора	<sub>Гц</sub> ×÷
-	Изменение формы наружнего кольца. Fo* = <b>59,062</b>	<sub>Гц</sub> ×÷
	Изменение формы внутреннего кольца. Fi* = 72,188	<sub>Гц</sub> ×÷
: 	Изменение формы тел качения <b>F</b> \(\psi^* = \big  10,395	Гц×÷

Результаты математического моделирования собственных частот подшипника передней опоры № 3182114

По итогам первичной обработки	экспер	римент	альні	ых д	анных	были
сделаны следующие выводы:	是通信选择 李科技建选基					主导路接通 通信支持機

- □ отмечена стабильность частот ФХМ спектра во времени для отдельно взятой машины с изменением амплитуд пиков;
- □отмечена принципиальная возможность совмещения подобных методов диагностики;
- □ результаты экспериментальных исследований коррелируют с расчетами, проведенными для определения собственных частот колебаний шпиндельного подшипника;
- □ для сопоставления экспериментальных данных необходима теоретическая методическая проработка принципов сопоставления данных двух методов (в том числе за счет разработки математических моделей).